

## Unit 2. 流体としてのプラズマ

### Klimontovich 方程式系 (Γ空間)

分布関数

$$\begin{aligned} \hat{f}_\alpha(\mathbf{r}, \mathbf{v}, t) &= \sum_{j=1}^{N_\alpha} \delta[\mathbf{r} - \mathbf{r}_j(t)] \delta[\mathbf{v} - \mathbf{v}_j(t)] & (\alpha = e, i) \\ \partial \hat{f}_\alpha / \partial t + \mathbf{v} \cdot \partial \hat{f}_\alpha / \partial \mathbf{r} + \hat{\mathbf{K}}_\alpha \cdot \partial \hat{f}_\alpha / \partial \mathbf{v} &= 0 & [\hat{\mathbf{K}}_\alpha(\mathbf{r}, \mathbf{v}, t) = q_\alpha / m_\alpha (\hat{\mathbf{E}} + \mathbf{v} \times \hat{\mathbf{B}})] \\ \nabla \times \hat{\mathbf{E}} &= -\partial \hat{\mathbf{B}} / \partial t & \nabla \cdot \hat{\mathbf{B}} = 0 \\ \nabla \times \hat{\mathbf{B}} &= 1/c^2 \partial \hat{\mathbf{E}} / \partial t + \mu_0 \hat{\mathbf{J}} & \nabla \cdot \hat{\mathbf{E}} = \hat{\sigma}_e / \epsilon_0 \\ \hat{\mathbf{J}} &= \sum_\alpha q_\alpha \int \mathbf{v} \hat{f}_\alpha d^3 \mathbf{v} & \hat{\sigma}_e = \sum_\alpha q_\alpha \int \hat{f}_\alpha d^3 \mathbf{v} \end{aligned}$$

6N 個 ( $N = \sum_\alpha N_\alpha$ ) の初期値が必要  $\{\mathbf{r}_j, \mathbf{v}_j\}$   $j = 1, N$

### Boltzmann-Vlasov 方程式系 (μ空間)

初期値についてのアンサンブル平均 →  $(\mathbf{r}, \mathbf{v})$  の滑らかな関数

$$\begin{aligned} f_\alpha &\equiv \langle \hat{f}_\alpha(\mathbf{r}, \mathbf{v}, t | \{\mathbf{r}_j, \mathbf{v}_j\}) \rangle, \quad \mathbf{E} \equiv \langle \hat{\mathbf{E}}(\mathbf{r}, t | \{\mathbf{r}_j, \mathbf{v}_j\}) \rangle, \quad \text{etc.} \\ \partial f_\alpha / \partial t + \mathbf{v} \cdot \partial f_\alpha / \partial \mathbf{r} + \langle \hat{\mathbf{K}}_\alpha \cdot \partial \hat{f}_\alpha / \partial \mathbf{v} \rangle &= 0 \\ \langle \hat{\mathbf{K}}_\alpha \cdot \partial \hat{f}_\alpha / \partial \mathbf{v} \rangle &= \mathbf{K}_\alpha \cdot \partial f_\alpha / \partial \mathbf{v} + \langle \hat{\mathbf{K}}_\alpha \cdot \partial \hat{f}_\alpha / \partial \mathbf{v} \rangle_{\text{corr.}} \end{aligned}$$

二体相関 (衝突の効果) を表す

$$\begin{aligned} \partial f_\alpha / \partial t + \mathbf{v} \cdot \partial f_\alpha / \partial \mathbf{r} + \mathbf{K}_\alpha \cdot \partial f_\alpha / \partial \mathbf{v} &= -\langle \hat{\mathbf{K}}_\alpha \cdot \partial \hat{f}_\alpha / \partial \mathbf{v} \rangle_{\text{corr.}} & \text{Boltzmann eq.} \\ & \text{非線形項} & \text{右辺 = 0 の場合 Vlasov eq. と呼ぶ} \end{aligned}$$

$$\begin{aligned} \nabla \times \mathbf{E} &= -\partial \mathbf{B} / \partial t & \nabla \cdot \mathbf{B} &= 0 \\ \nabla \times \mathbf{B} &= 1/c^2 \partial \mathbf{E} / \partial t + \mu_0 \mathbf{J} & \nabla \cdot \mathbf{E} &= \sigma_e / \epsilon_0 \\ \mathbf{J} &= \sum_\alpha q_\alpha \int \mathbf{v} f_\alpha d^3 \mathbf{v} & \sigma_e &= \sum_\alpha q_\alpha \int f_\alpha d^3 \mathbf{v} \end{aligned}$$

### 流体方程式

Vlasov eq. の速度空間における  $(1, m\mathbf{v}, mv^2/2)$  モーメント → 質量、運動量、エネルギー保存則  
これらを用いてプラズマの巨視的挙動を記述する。

速度分布について積分しているので、運動論的效果 (波動-粒子相互作用) は無視される (運動論的效果については後述)。

連続方程式 (粒子数の保存、質量をかければ質量の保存)

$$\text{粒子密度 } n_\alpha(\mathbf{r}, t) = \int f_\alpha(\mathbf{r}, \mathbf{v}, t) d^3\mathbf{v} \quad (\text{以後}\alpha\text{は省略})$$

$$\partial n / \partial t + \nabla \cdot \Gamma = S \quad \text{continuity equation}$$

$$\Gamma = \int \mathbf{v} f(\mathbf{r}, \mathbf{v}, t) d^3\mathbf{v} = n(\mathbf{r}, t) \mathbf{u}(\mathbf{r}, t) \quad \text{particle flux}$$

$$\mathbf{u} = \langle \mathbf{v} \rangle = \int \mathbf{v} f(\mathbf{r}, \mathbf{v}, t) d^3\mathbf{v} / \int f(\mathbf{r}, \mathbf{v}, t) d^3\mathbf{v} \quad \text{平均流速}$$

S: source (ionization) / sink (recombination)

完全電離プラズマでは無視できることが多い (その場合、右辺=0)

運動量バランスの式 (流体運動方程式)  $m\mathbf{v}$  モーメント

$$\partial(nm\langle \mathbf{v} \rangle) / \partial t + \nabla \cdot (nm\langle \mathbf{v}\mathbf{v} \rangle) = nq(\mathbf{E} + \langle \mathbf{v} \rangle \times \mathbf{B})$$

$$\text{momentum density } \int m\mathbf{v}f(\mathbf{r}, \mathbf{v}, t) d^3\mathbf{v} = n\mathbf{m}\mathbf{u}$$

$$\text{momentum transfer tensor } \int m\mathbf{v}\mathbf{v}f(\mathbf{r}, \mathbf{v}, t) d^3\mathbf{v} = nm\langle \mathbf{v}\mathbf{v} \rangle$$

$$\text{pressure tensor } \mathbf{P} = \int m(\mathbf{v} - \mathbf{u})(\mathbf{v} - \mathbf{u})f(\mathbf{r}, \mathbf{v}, t) d^3\mathbf{v} = nm\langle \mathbf{v}\mathbf{v} \rangle - nm\mathbf{u}\mathbf{u}$$

$$\text{Maxwell 分布の場合 } \mathbf{P} = \begin{pmatrix} nT_\perp & 0 & 0 \\ 0 & nT_\perp & 0 \\ 0 & 0 & nT_\parallel \end{pmatrix}$$

$$\partial(n\mathbf{m}\mathbf{u}) / \partial t + \nabla \cdot \mathbf{P} + m\nabla \cdot (n\mathbf{u}\mathbf{u}) = nq(\mathbf{E} + \mathbf{u} \times \mathbf{B})$$

連続の式  $\partial n / \partial t + \nabla \cdot (n\mathbf{u}) = 0$  および  $\partial / \partial x_i$   $nu_i u_j = u_j \partial / \partial x_i (nu_i) + nu_i \partial u_j / \partial x_i$  を使って

$$\text{momentum balance eq. } nm[\partial \mathbf{u} / \partial t + (\mathbf{u} \cdot \nabla)\mathbf{u}] = nq(\mathbf{E} + \mathbf{u} \times \mathbf{B}) - \nabla \cdot \mathbf{P}$$

$$\text{convective derivative: } d\mathbf{u} / dt = \partial \mathbf{u} / \partial t + (\mathbf{u} \cdot \nabla)\mathbf{u}$$

エネルギーバランスの式  $m\mathbf{v}^2/2$  モーメント

$$\partial \varepsilon / \partial t + \nabla \cdot \mathbf{Q} = nq \mathbf{u} \cdot \mathbf{E}$$

$$\text{energy density } \varepsilon = 1/2 nm\langle v^2 \rangle$$

$$\text{heat flow vector } \mathbf{Q} = 1/2 nm\langle v^2 \mathbf{v} \rangle$$

hierarchy を閉じる必要がある

$$\text{状態方程式 eq. of state } p = Cn^\gamma \quad (pV^\gamma = \text{const})$$

isothermal ( $\gamma = 1$ ) 圧縮の時間スケール 熱伝導より遅い

adiabatic [ $\gamma = (2 + N)/N$ ] ( $N$ : 自由度) 熱伝導より速い

等方的  $\gamma = 5/3$  ( $N = 3$ ) 衝突による自由度間のエネルギー交換より遅い

非等方的  $\gamma = 2$  ( $N = 2$ )  $T_\perp$  衝突による自由度間のエネルギー交換より速い

$\gamma = 3$  ( $N = 1$ )  $T_\parallel$

+ Maxwell eqs.

## 二流体方程式

衝突による運動量の交換が無視できない場合

$\alpha$ 種の粒子が $\beta$ 種の粒子との衝突により得る運動量（単位時間、単位体積あたり）

$$\text{collisional momentum transfer } \mathbf{R}_{\alpha\beta} = -m_\alpha n_\alpha \nu_{\alpha\beta} (\mathbf{u}_\alpha - \mathbf{u}_\beta)$$

$\nu_{\alpha\beta}$ : collision frequency

momentum balance eq.

$$nm[\partial\mathbf{u}/\partial t + (\mathbf{u} \cdot \nabla)\mathbf{u}] = nq(\mathbf{E} + \mathbf{u} \times \mathbf{B}) - \nabla \cdot \mathbf{P} + \sum_{\beta} \mathbf{R}_{\alpha\beta}$$

## プラズマの電気抵抗

一様な水素プラズマ ( $Z_i = 1$ ) では、 $\nabla \cdot \mathbf{P} = 0$ ,  $(\mathbf{u} \cdot \nabla)\mathbf{u} = 0$

定常状態 ( $\partial/\partial t = 0$ ) において、磁力線に沿った成分は

$$0 = -n_e e E_{\parallel} + R_{ei\parallel}$$

$$j_{\parallel} = -n_e e (u_{e\parallel} - u_{i\parallel})$$

これらをまとめると

$$E_{\parallel} = -m_e \nu_{ei} / e (u_{e\parallel} - u_{i\parallel}) = m_e \nu_{ei} / (n_e e^2) j_{\parallel}$$

$$\eta = m_e \langle \nu_{ei} \rangle / (n_e e^2)$$

( $\nu_{ei}$  は  $e$  の速度に依存するので、プラズマ全体を考える場合、速度分布で平均する)

$$\mathbf{R}_{ei} = -m_e n_e \langle \nu_{ei} \rangle (\mathbf{u}_e - \mathbf{u}_i) = \eta n_e e \mathbf{j}$$

一般的にはテンソル

$$\begin{pmatrix} \eta_{\perp} & 0 & 0 \\ 0 & \eta_{\perp} & 0 \\ 0 & 0 & \eta_{\parallel} \end{pmatrix}$$

1 keV のプラズマの電気抵抗は Cu と同程度

## 反磁性ドリフト

momentum balance

$$mn[\partial \mathbf{u} / \partial t + (\mathbf{u} \cdot \nabla) \mathbf{u}] = nq(\mathbf{E} + \mathbf{u} \times \mathbf{B}) - \nabla \cdot \mathbf{P}$$

$\mathbf{u} \sim (kr_L) v_t$ ,  $\partial / \partial t \sim \omega \sim ku$  程度の大きさのドリフトを考える。

ここで  $kr_L \sim r_L / L \ll 1$  ( $L$  は空間的变化のスケール長),  $v_t \sim (T/m)^{1/2}$  は熱速度。

上式左辺は  $mn (kr_L)^2 kv_t^2$ , 右辺は  $mn kv_t^2$  なので、左辺 / 右辺  $\sim (kr_L)^2 \ll 1$ 。

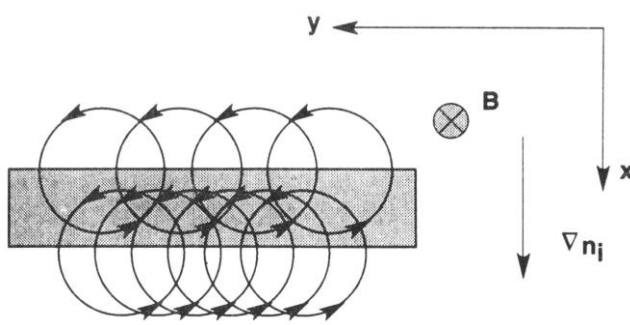
$$nq(\mathbf{E} + \mathbf{u} \times \mathbf{B}) \cong \nabla \cdot \mathbf{P} \quad \leftarrow \quad \times \mathbf{B}$$

$$nq[\mathbf{E} \times \mathbf{B} - \mathbf{uB}^2 + \mathbf{B}(\mathbf{u} \cdot \mathbf{B})] = \nabla \cdot \mathbf{P} \times \mathbf{B}$$

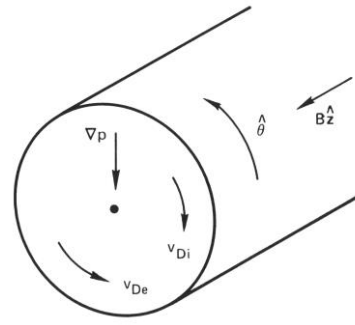
$$\mathbf{u}_\perp = \mathbf{E} \times \mathbf{B} / B^2 + \mathbf{B} \times \nabla \cdot \mathbf{P} / (nqB^2)$$

$\mathbf{E} \times \mathbf{B}$  drift    diamagnetic drift

$$\mathbf{j}_d = \sum_{\alpha} n_{\alpha} q_{\alpha} \mathbf{u}_{\perp \alpha} = \mathbf{B} \times \nabla \cdot (\mathbf{P}_i + \mathbf{P}_e) / B^2 \quad \text{diamagnetic current}$$



反磁性ドリフトの生成機構



円柱プラズマの反磁性ドリフト

## 磁場に沿った方向の圧力平衡

$$mn \, du_{\parallel} / dt = nqE_{\parallel} - \nabla_{\parallel} p \quad (\text{pressure tensor がスカラーで表せる場合を考える})$$

イオン・電子が圧力勾配に反応する時間スケールは、それぞれ  $L/v_{ti}$ ,  $L/v_{te}$  ( $L/v_{ti} \gg L/v_{te}$ )。

時間変化が緩やかで定常流の無い場合を考えると、電子については左辺 (慣性項) が無視でき、

$$0 = nqE_{\parallel} - \nabla_{\parallel} p \quad \rightarrow \quad -n_e e \nabla_{\parallel} \phi + \nabla_{\parallel} (n_e T_e) = 0$$

$$\text{磁力線方向の熱伝導率は大きい} \quad \rightarrow \quad \nabla_{\parallel} T_e = 0 \quad \rightarrow \quad -n_e e \nabla_{\parallel} \phi + T_e \nabla_{\parallel} n_e = 0$$

$$\text{積分して} \quad \ln n_e - e\phi / T_e = \text{const.} \quad \rightarrow \quad n_e \propto \exp(e\phi / T_e) \quad \text{Boltzmann relation}$$

圧力平衡を保つため電子は  $\phi \propto T_e / e \ln n_e$  のポテンシャルを形成。

イオンの反応できる時間スケールは電子に比べてはるかに長いので慣性項は無視できず、

$$m_i n_i \, du_{i\parallel} / dt = -n_i e \nabla_{\parallel} \phi - \nabla_{\parallel} p_i = -T_e \nabla_{\parallel} n_e - \nabla_{\parallel} p_i$$

$$\text{更に} \quad \nabla_{\parallel} T_i = 0 \quad \text{であれば} \quad m_i n_i \, du_{i\parallel} / dt = -(T_e + T_i) \nabla_{\parallel} n_e$$

単一流体 MHD (Single-Fluid MHD)

MHD: magnetohydrodynamic

H プラズマを考える。

$$M = m_i, \quad m = m_e$$

$$n = n_e \cong n_i \quad \text{charge neutrality } (\lambda_D \ll L)$$

流体変数を定義

$$\rho = n_i M + n_e m \cong nM \quad \text{mass density}$$

$$\sigma_e = (n_i - n_e)e \quad \text{charge density}$$

$$\mathbf{u} = (n_i M \mathbf{u}_i + n_e m \mathbf{u}_e) / \rho \cong \mathbf{u}_i + (m/M) \mathbf{u}_e \quad \text{mass velocity} \quad \mathbf{u}_i = \mathbf{u} + (m/M) \mathbf{j} / (ne)$$

$$\mathbf{j} = e(n_i \mathbf{u}_i - n_e \mathbf{u}_e) \cong ne (\mathbf{u}_i - \mathbf{u}_e) \quad \text{current density} \quad \mathbf{u}_e = \mathbf{u} - \mathbf{j} / (ne)$$

continuity equation

$$\partial n_{i,e} / \partial t + \nabla \cdot (n_{i,e} \mathbf{u}_{i,e}) = 0$$

$$\underline{\partial \rho / \partial t + \nabla \cdot (\rho \mathbf{u}) = 0}$$

$$\underline{\partial \sigma_e / \partial t + \nabla \cdot \mathbf{j} = 0}$$

equation of motion

$$M n_i \mathbf{d} \mathbf{u}_i / dt = e n_i (\mathbf{E} + \mathbf{u}_i \times \mathbf{B}) - \nabla p_i + \mathbf{R}_{ie} \quad \underline{\rho \mathbf{d} \mathbf{u} / dt = \rho (\partial \mathbf{u} / \partial t + \mathbf{u} \cdot \nabla \mathbf{u}) = \sigma_e \mathbf{E} + \mathbf{j} \times \mathbf{B} - \nabla p}$$

$$m n_e \mathbf{d} \mathbf{u}_e / dt = -e n_e (\mathbf{E} + \mathbf{u}_e \times \mathbf{B}) - \nabla p_e + \mathbf{R}_{ei} \quad \text{single-fluid eq. of motion} \quad (p = p_e + p_i)$$

$$\mathbf{R}_{ei} = m n \langle v_{ei} \rangle (\mathbf{u}_i - \mathbf{u}_e) = \eta ne \mathbf{j}$$

低周波数では電子の慣性は無視できる。

$$\mathbf{E} + \mathbf{u}_e \times \mathbf{B} = \eta \mathbf{j} - \nabla p_e / (ne)$$

$$\underline{\mathbf{E} + \mathbf{u} \times \mathbf{B} = \eta \mathbf{j} + (\mathbf{j} \times \mathbf{B} - \nabla p_e) / (ne)}$$

generalized Ohm's law

equation of state

$$\text{adiabatic} \quad \underline{d(p/\rho^\gamma) / dt = 0}$$

$$\text{isothermal} \quad p = n (T_e + T_i)$$

Maxwell's equations

$$\underline{\nabla \times \mathbf{E} = -\partial \mathbf{B} / \partial t}$$

$$\underline{\nabla \cdot \mathbf{B} = 0}$$

$$\underline{\nabla \times \mathbf{B} = 1/c^2 \partial \mathbf{E} / \partial t + \mu_0 \mathbf{j}}$$

$$\underline{\nabla \cdot \mathbf{E} = \sigma_e / \epsilon_0}$$

更に以下の近似が成り立つ場合が多い。

Quasi-neutrality approximation

$$|n_i - n_e| \ll n$$

$\rho / (\epsilon_0 B^2) = \omega_{pi}^2 / \omega_{ci}^2 \gg 1$  の場合、 $\partial \sigma_e / \partial t$ ,  $\sigma_e \mathbf{E}$  の項を無視できる。

### Small Larmor radius approximation

巨視的なプラズマ ( $r_{Li} \ll L$ ) において、強い MHD 不安定性による発達した流れがあるとき [ $v_E = E/B$ ,  $v_{ii} = (T/m)^{1/2}$  として  $u \sim v_E \sim v_{ii}$  ], generalized Ohm's law で  $\mathbf{j} \times \mathbf{B}$  および  $\nabla p_e$  の項を無視できる。

この場合、

$$\begin{aligned} \text{Ohm's law} & \quad \mathbf{E} + \mathbf{u} \times \mathbf{B} = \eta \mathbf{j} \\ \text{MHD eqs.} & \quad \frac{\partial \rho}{\partial t} + \nabla \cdot (\rho \mathbf{u}) = 0 \\ & \quad \nabla \cdot \mathbf{j} = 0 \\ & \quad \rho \frac{d\mathbf{u}}{dt} = \mathbf{j} \times \mathbf{B} - \nabla p \\ \text{Maxwell's eqs.} & \quad \nabla \times \mathbf{E} = -\frac{\partial \mathbf{B}}{\partial t} \\ & \quad \nabla \times \mathbf{B} = \mu_0 \mathbf{j} \\ & \quad \nabla \cdot \mathbf{B} = 0 \end{aligned}$$

これらを MHD 方程式系といい、プラズマの巨視的なふるまいを表す。

### Infinite conductivity approximation

高温プラズマでは電気抵抗は小さいので、電気伝導度は無限大であるという近似が成り立つことが多い。これを理想的 MHD (ideal MHD) 近似といい、このとき Ohm's law は  $\mathbf{E} + \mathbf{u} \times \mathbf{B} = 0$  と書ける。これより次の重要な性質が導かれる。

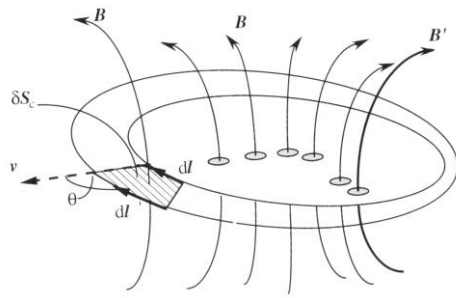
プラズマと一緒に動く任意の面  $\mathbf{S}$  を考えると、この面を横切る磁束  $\Phi = \int \mathbf{B} \cdot d\mathbf{S}$  の時間変化は

$$d\Phi/dt = \int \frac{\partial \mathbf{B}}{\partial t} \cdot d\mathbf{S} + \oint \mathbf{B} \cdot (\mathbf{u} \times d\mathbf{l})$$

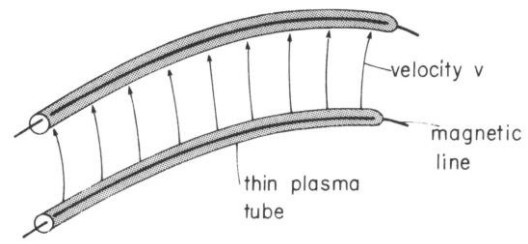
と表される ( $d\mathbf{l}$  は  $\mathbf{S}$  の境界に沿った線分を表す)。  $\frac{\partial \mathbf{B}}{\partial t} = -\nabla \times \mathbf{E}$  を用いると

$$d\Phi/dt = -\oint (\mathbf{E} + \mathbf{u} \times \mathbf{B}) \cdot d\mathbf{l} = 0$$

となり、理想的 MHD 近似が成り立つときは、 $\mathbf{S}$  を横切る磁束は保存されることがわかる。特殊な場合として、 $\mathbf{S}$  を磁力線に沿った細いチューブの断面とすると、磁力線はプラズマと一緒に動くことが導かれる。これは理想的 MHD 近似の成り立つ時は、磁力線のトポロジーは変化し得ないという重要な意味を持っている (有限な電気抵抗がある場合にはこの制約はなくなる)。



磁束の保存



磁力線とプラズマの運動

### 磁気レイノルズ数 (magnetic Reynolds number)

有限な電気抵抗があるとき、磁場の時間変化は以下のように表せる。

$$\frac{\partial \mathbf{B}}{\partial t} = -\nabla \times \mathbf{E} = \nabla \times (\mathbf{u} \times \mathbf{B}) - \nabla \times (\eta \mathbf{j}) = \nabla \times (\mathbf{u} \times \mathbf{B}) + (\eta/\mu_0) \nabla^2 \mathbf{B}$$

convection      diffusion

スケール長を  $L$  とすると

$$(\text{対流項}) / (\text{拡散項}) \sim \mu_0 u L / \eta = R_M \quad \text{magnetic Reynolds number (Lundquist number)}$$

$R_M \gg 1$  のとき、電気伝導度が無限大である（電気抵抗が 0）という近似が成り立つ。

### MHD 平衡

プラズマの運動

↑      ↓      self-consistent な平衡配位

磁場 ← 電流

等方的圧力の場合 ( $\nabla \cdot \mathbf{P} = \nabla p$ ) の静的定常状態 ( $\partial/\partial t = 0, \mathbf{u} = 0$ ) を考える。

$$\nabla p = \mathbf{j} \times \mathbf{B}$$

$$\nabla \cdot \mathbf{B} = 0$$

$$\nabla \times \mathbf{B} = \mu_0 \mathbf{j}$$

を連立して解く。

$$\nabla p = (1/\mu_0) (\nabla \times \mathbf{B}) \times \mathbf{B} = (1/\mu_0) [(\mathbf{B} \cdot \nabla) \mathbf{B} - \nabla(B^2/2)]$$

$$\nabla [p + B^2/(2\mu_0)] = (1/\mu_0) [\mathbf{B}(\mathbf{b} \cdot \nabla)(\mathbf{B} \cdot \mathbf{b})] = (B^2/\mu_0) (\mathbf{b} \cdot \nabla) \mathbf{b} + \mathbf{b}(\mathbf{b} \cdot \nabla) B^2/(2\mu_0)$$

bending      parallel compression

$\mathbf{B}$  がまっすぐで平行の場合は、 $p + B^2/(2\mu_0) = \text{const.}$

$\beta \equiv 2\mu_0 p / B^2 = (\text{プラズマの圧力}) / (\text{磁場の圧力})$  は磁場によるプラズマ閉じ込めの有効性を表す。

$\beta$  がある値を超えると MHD 不安定性が起こり、平衡が保てなくなる。

プラズマの MHD 平衡の例 (円柱対称系)

**θ-pinch** ( $B_z, j_\theta$ が有限)

$$j_\theta = -(1/\mu_0) dB_z/dr, \quad j_\theta B_z = dp/dr \text{ より}$$

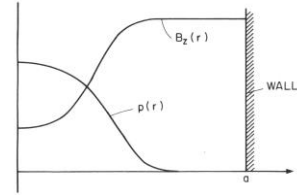
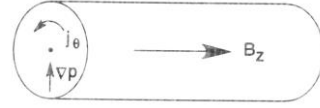
$$d/dr [p + B_z^2/(2\mu_0)] = 0 \quad \rightarrow \quad p(r) + B_z^2(r)/(2\mu_0) = B_0^2/(2\mu_0)$$

$$B_z(r=a) = B_0 \quad (B_0 \text{ は外部より与えられた磁場})$$

プラズマの圧力は外部磁場により支えられている。

平衡のため必要なプラズマ電流

$$\mathbf{j}_\perp = \mathbf{B} \times \nabla p / B^2 \quad (\text{diamagnetic current})$$



**z-pinch** ( $B_\theta, j_z$ が有限)

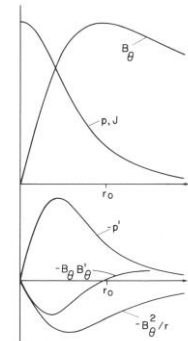
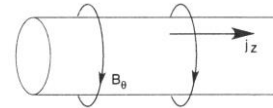
$$j_z = (1/\mu_0 r) d/dr (rB_\theta), \quad j_z B_\theta = -dp/dr \text{ より}$$

$$d/dr [p + B_\theta^2/(2\mu_0)] + B_\theta^2/(\mu_0 r) = 0 \quad \rightarrow \quad p(r) = p_0 - B_\theta^2(r)/(2\mu_0) - (1/\mu_0) \int_0^r B_\theta^2(r)/r dr$$

$$\uparrow \quad p_0 = p(r=0)$$

磁場の張力 (磁力線の曲率による)

プラズマの圧力は磁場の張力により支えられている。



**screw pinch** ( $B_z, B_\theta, j_z, j_\theta$ が有限)

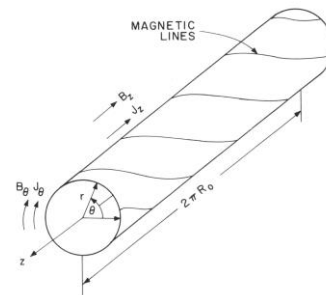
$$j_z = (1/\mu_0 r) d/dr (rB_\theta), \quad j_\theta = -(1/\mu_0) dB_z/dr, \quad j_\theta B_z - j_z B_\theta = dp/dr$$

$$d/dr [p + (B_\theta^2 + B_z^2)/(2\mu_0)] + B_\theta^2/(\mu_0 r) = 0$$

$$\rightarrow \quad p(r) + (B_\theta^2(r) + B_z^2(r))/(2\mu_0) = p_0 + B_{z0}^2/(2\mu_0) - B_\theta^2(r)/(2\mu_0) - (1/\mu_0) \int_0^r B_\theta^2(r)/r dr$$

$$B_{z0} = B_z(r=0)$$

トカマクは screw pinch をトーラス化したもの。





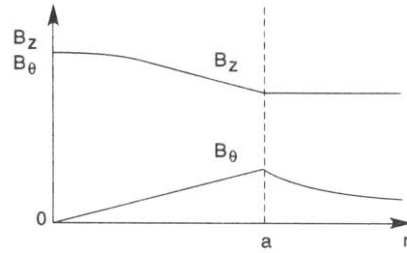
low  $\beta$ 平衡 ( $\nabla p$  が無視できる場合)

$$\mathbf{j} \times \mathbf{B} = 0 \quad (\text{force-free equilibrium})$$

$$d/dr (B_\theta^2 + B_z^2)/(2\mu_0) + B_\theta^2/(\mu_0 r) = 0$$

$$\rightarrow B_z^2(r) = B_{z0}^2 - B_\theta^2(r) - 2 \int_0^r B_\theta^2(r)/r dr$$

$B_z(r=0)$  は  $B_z(r=a)$  より大きい (paramagnetic)



### 電気抵抗による散逸

有限な電気抵抗による散逸  $\rightarrow$  熱平衡状態 (一様な圧力) に近づく

$$\mathbf{E} + \mathbf{u} \times \mathbf{B} = \eta \mathbf{j} \rightarrow \partial \mathbf{B} / \partial t = \nabla \times (\mathbf{u} \times \mathbf{B}) + (\eta / \mu_0) \nabla^2 \mathbf{B}$$

convection      diffusion

$B_z$  の存在するところに急激に  $j_z$  を流した場合の  $B_\theta$  の時間変化を考える ( $B_z \gg B_\theta$ )。

$$z \text{ 成分 } 0 = -1/r \partial/\partial r (r u_r B_z) + (\eta/\mu_0) 1/r \partial/\partial r (r \partial B_z / \partial r) \rightarrow u_r = \eta / (\mu_0 B_z) \partial B_z / \partial r \cong -(\eta / B_z^2) \partial p / \partial r$$

( $p + B_z^2 / (2\mu_0) \cong \text{const.}$  より)

$$\theta \text{ 成分 } \partial B_\theta / \partial t = -\partial/\partial r (u_r B_\theta) + (\eta/\mu_0) \partial/\partial r [1/r \partial/\partial r (r B_\theta)] \rightarrow \partial B_\theta / \partial t \cong (\eta/\mu_0) \partial/\partial r [1/r \partial/\partial r (r B_\theta)]$$

↑  
(磁場の拡散方程式)

第2項 (拡散項) に比べ  $O(\beta)$  小さい

$$\text{拡散の時間スケール } \tau \sim (\mu_0/\eta) L^2$$

最初は表面のみに電流が流れ (表皮効果)、プラズマ中に  $B_\theta$  は存在しない。

$\tau \sim (\mu_0/\eta) L^2$  の時間スケールで  $B_\theta$  は拡散し (有限な電気抵抗が必要)、 $j_z$  および  $B_\theta$  の分布が形成される。